

Общероссийский математический портал

А. Я. Гохштейн, А. Н. Фрумкин, Исследование автоколебаний в свободных от пассивации системах с помощью твердого электрода, Докл. АН СССР, 1962, том 144, номер 4, 821–824

Использование Общероссийского математического портала Math-Net.Ru подразумевает, что вы прочитали и согласны с пользовательским соглашением

http://www.mathnet.ru/rus/agreement

Параметры загрузки: IP: 83.220.238.254

28 января 2018 г., 18:26:43



Доклады Академии наук СССР 1962. Том 144. № 4

ФИЗИЧЕСКАЯ ХИМИЯ

А. Я. ГОХШТЕЙН и академик А. Н. ФРУМКИН

ИССЛЕДОВАНИЕ АВТОКОЛЕБАНИЙ В СВОБОДНЫХ ОТ ПАССИВАЦИИ СИСТЕМАХ С ПОМОЩЬЮ ТВЕРДОГО ЭЛЕКТРОДА

Как сообщалось, в свободных от пассивации электролитических системах с падающей характеристикой были обнаружены периодические незатухающие колебания тока (1-3) и дана их теория (3). Объектом экспериментальных исследований этих автоколебаний до сих пор были стационарные либо растущие капельные ртутные электроды; результаты исследований полностью согласуются с теорией. Построенная теория не связывает основных свойств автоколебаний с каким-либо одним видом электрода и требует лишь обвновления приэлектродного слоя тем или иным способом, чтобы система

в целом могла оставаться в квазистационарном состоянии. В случае ртутного электрода это обеспечивается естественными небольшими по амплитуде тангенциальными колебаниями поверхности ртути (1), которые, не влияя существенно на распределение концентрации у поверхности электрода, ограничивают толщину приэлектродного слоя, в котором происходит основное изменение центрации до ее значения в массе раствора. Подобный механизм обновления получить на цилиндрическом онжом круговыми вибрациями. c В настоящей работе с целью дальнейшей проверки теории поставлена задача исключить тангенциальные колебания, заменив их другим способом обновления приэлектродного слоя.

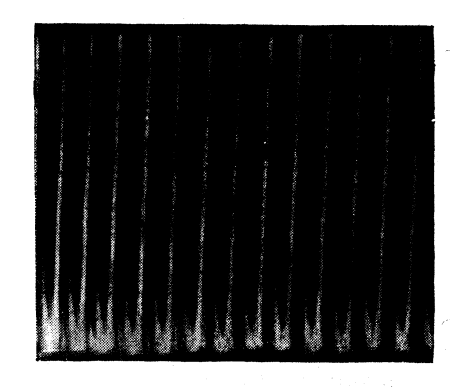


Рис. 1. Автоколебания тока при постоянном напряжении. Медный дисковый вращающийся электрод в $6 \cdot 10^{-3} \, M$ ${\rm K}_2 {\rm S}_2 {\rm O}_8$, $\omega = 15$ об/сек; амплитуда колебаний $1,61 \cdot 10^{-4}$ а, частота 10 гц

В проведенных ранее работах для снятия стационарных поляризационных кривых электровосстановления анионов был с успехом применен (4) амальгамированный дисковый вращающийся электрод *. Медный дисковый вращающийся электрод, примененный в настоящей работе для исследования автоколебаний, не амальгамирован, что полностью обеспечивает требуемое отсутствие самопроизвольных колебаний поверхности.

В подтверждение теории (3) форма и свойства периодических незатухающих автоколебаний, полученных таким путем (рис. 1), совпадают с формой и свойствами автоколебаний, полученных ранее на капельном ртутном электроде (1). Как следует из теории (3), для нормального протекания колебательного процесса необходимо, чтобы скачку системы из состояния с большим расходом потребляемого на электроде вещества к состоянию с малым расходом предшествовало преобладание скорости расхода над скоростью доставки вещества к поверхности электрода. Наоборот, скачку от малого расхода к большому должно предшествовать преобладание скорости доставки над скоростью расхода. Соответствующие точки срыва a и b (срыва вниз и срыва вверх) указаны на рис. b для фиксированного напряжения b0, приложенного к цепи системы. Цепь состоит из электролита

^{*} См. также дипломную работу Ю. М. Поварова, Московский университет, 1958 г.

с поляризуемым и вспомогательным электродами. Последовательное сопротивление цепи r складывается из сопротивления электролита и внешнего сопротивления. Кривые $i_a=c_a\widetilde{\rho}$ (ϕ) и $i_b=c_b\widetilde{\rho}$ (ϕ) выражают зависимость тока i от потенциала ϕ при значениях приэлектродной концентрации, реализующихся в состояниях системы a и b. Точки a и b определяются касанием i_a и i_b с прямой $ir+\phi=v$. При уменьшении v положение точек a и b изменяется до тех пор, пока они не сливаются в точке D, соответствующей предельному положению цикла колебаний. Геометрические места этих точек обозначены на рис. 2 ветвями AD и BD. Кривые i_{01} (ϕ) и $i_{02}(\phi)$ —зависимости стационарных токов от ϕ , соответствующие двум толщинам

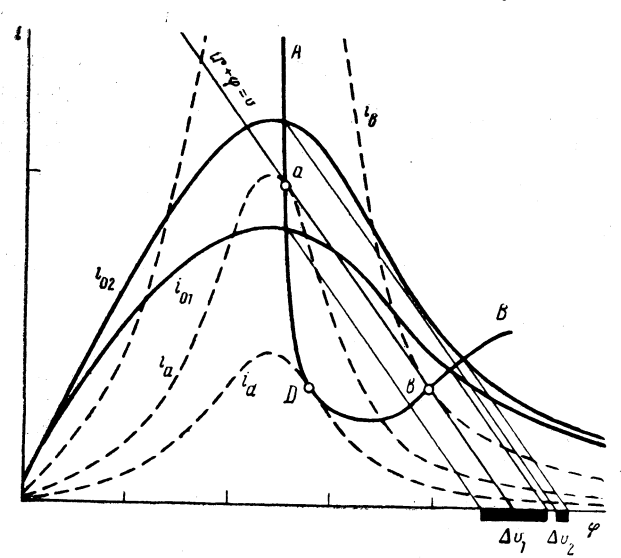


Рис. 2. Изменение области автоколебаний с изменением толщины приэлектродного слоя

приэлектродного слоя $l_2 < l_1$ при постоянной концентрации \bar{c} в массе электролита (рассчитаны по формуле (3) (3) при $G_1=0,14;~G_2=0,20$ и $\bar{c}=7$).

Выясним, как зависит область Δv , в которой происходят автоколебания, от l. Указанное выше необходимое условие в случае l_1 сводится к тому, чтобы точки a и b были расположены по разные стороны от кривой i_{01} . Границы области Δv_1 , в которой это условие соблюдено, даются значениями v, соответствующими точкам пересечения i_{01} с AD (левая граница) и с BD (правая). Аналогично определяется область Δv_2 для другой толщины слоя l_2 . Сопоставление обоих результатов показывает, что границы области Δv существенно зависят от толщины приэлектродного слоя.

Этот вывод находит прямое подтверждение в экспериментальных результатах рис. З a, b, b, c, где изображены осциллограммы I-v, снятые при малой скорости убывания (справа налево) напряжения, v=0.25 в/сек, и различных скоростях вращения электрода (соответственно $\omega=5;~8;~15;~29$ об/сек; с увеличением ω l уменьшается (5)). В согласии с теорией уменьшение толщины приэлектродного слоя сопровождается смещением области Δv и выходом из нее тех участков оси напряжения, на которых амплитуда автоколебаний мала (рис. 3a-b). С дальнейшим уменьшением l область Δv вырождается (рис. 3e); единичный скачок тока на рис. 3e представляет собой обусловленный убыванием напряжения переход системы из одного состояния в другое с последующим приходом системы в стационарное состояние.

Заметим, что зависимость области Δv от l является по существу зависимостью Δv от расположения кривой стационарных состояний $i_0(\phi)$, которая определяется также и концентрацией в массе раствора \bar{c} . Обычно \bar{c} остается

постоянным в серии опытов с различным l. Зависимость области Δv от c при постоянных l и r устанавливается теми же рассуждениями, если учесть, что i_0 увеличивается пропорционально \bar{c} ; постоянство r при этом обеспечивается введением дополнительного внешнего сопротивления по мере умень, шения сопротивления электролита. Одновременным изменением l и \bar{c} можно частично или полностью (при больших l) компенсировать их влияние на Δv .

Благодаря высокой крутизне ветви AD смещение δv левой границы области Δv может быть использовано для оценки сопротивления системы r (см. рис. 2); $r \cong \delta v/\delta I$, где δI — соответствующее смещению изменение ста-

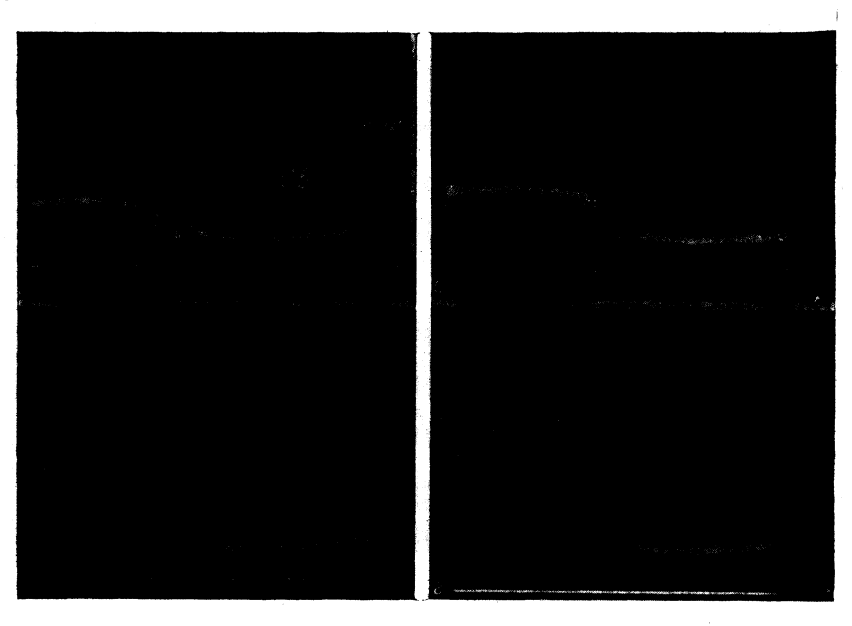


Рис. 3. Экспериментальное исследование автоколебаний при различной толщине приэлектродного слоя. Медный дисковый вращающийся электрод, $2\lambda=1.9$ мм; второй электрод—пластина платины; $3.7\cdot10^{-3}~M~K_2S_2O_8$ (начало осциллограммы δ сдвинуто по отношению к остальным влево на $0.04~\rm B$)

ционарного (предельного) тока левой границы. Сопоставление осциллограмм рис. 3a и 3e дает $\delta v=0.09$ в, $\delta I=40$ µа и $r=2.2\cdot 10^3$ ом. Для сравнения вычислим сопротивление системы другим путем. В данном случае (рис. 1 и 3) внешнее сопротивление не введено и r определяется сопротивлением электролита, в который погружен дисковый электрод радиуса λ . Решая соответствующую краевую задачу, нетрудно показать, что в режиме предельного тока падения напряжения при прохождении тока через электролит составляют в центре и на краю диска:

$$u(0) = \frac{i}{\sigma} \lambda, \quad u(\lambda) = \frac{2}{\pi} \frac{i}{\sigma} \lambda,$$

где σ — удельная электропроводность раствора, i — плотность тока на диск. Как и капельный электрод, дисковый электрод неэквипотенциален $(u\ (0)/u\ (\lambda)=\pi/2)$, и поэтому под сопротивлением системы подразумевается значение, заключающееся между r_0 и r_λ , приведенными к центру и краю диска, $r_\rho=u\ (\rho)/I$. Так как $I=\pi\lambda^2 i$, то $r_0=1/\pi\sigma\lambda$ и $r_\lambda=2/\pi^2\sigma\lambda$. Для $3.7\cdot 10^{-3}\ M\ {\rm K}_2{\rm S}_2{\rm O}_8\ \sigma=1.18\cdot 10^{-3}\ {\rm om}^{-1}{\rm cm}^{-1}$. Отсюда $r_0=2.7\cdot 10^3$ ом, $r_\lambda=1.7\cdot 10^3$ ом. Таким образом, выполнено $r_\lambda < r < r_0$, что подтверждает предпосылки, использованные выше при расчете r.

В соответствии с теорией (3) находятся и такие факты (рис. 3), как не-изменность (при фиксированном v) амплитуды автоколебаний при изме-

нении l и уменьшение периода автоколебаний за счет сокращения той его части, в которой ток мал; с уменьшением l происходит увеличение отношения p той части периода, в которой ток велик, ко всему периоду. Точный вывод формулы для частоты (v) автоколебаний (который будет опубликован в ближайшее время) показывает, что при фиксированном v с уменьшением l v изменяется немонотонно — вначале возрастает, достигает при $p \approx 1/2$ максимума и затем убывает до нуля. Отдельные участки этой зависимости возможно экспериментально наблюдать в тех условиях, когда при изменении в соответствующих пределах l напряжение v продолжает оставаться в области Δv (последняя, как было показано выше, смещается с изменением l). В условиях опытов рис. З наблюдению доступен тот участок зависимости, которому соответствуют значения p < 1/2.

Неодинаковое в геометрическом отношении расположение различных участков поверхности электрода в реальных системах приводит к тому, что наступление одной и той же стадии процесса в различных точках электрода несколько рассредоточено во времени. Однако благодаря взаимному влиянию различных участков одного и того же электрода разброс во времени невелик и случаи интерференции могут наблюдаться лишь на границах области колебаний. Вызываемая неравномерностью неэквипотенциальность электрода может быть значительно снижена в тех случаях, когда допустимо добавление к раствору значительного избытка постороннего электролита (системы с K₂PtCl₄, K₂PtCl₆ (4)).

Анализ результатов, полученных при исследовании автоколебаний в свободных от пассивации системах, выявлет особенность в поведении электролитических систем, имеющих падающую характеристику; она заключается в возможности весьма быстрых переходов. Примером служит переход из состояния с малым расходом вещества в состояние с большим расходом (резкий подъем тока на переднем фронте колебаний, рис. 3). Он ускоряется тем, что перезарядка двойного электрического слоя, связанная с изменением потенциала электрода, происходит за счет электровосстановления, скорость которого в системе с падающей характеристикой возрастает при сдвиге потенциала в положительную сторону. Часть отрицательного электричества, потребляемого в реакции электровосстановления, стекает с металлической обкладки двойного слоя, которая приобретает более положительный заряд в соответствии с более положительным потенциалом электрода.

Институт электрохимии Академии наук СССР Поступило 27 II 1962

цитированная литература

¹ А. Я. Гохштейн, А. Н. Фрумкин, ДАН, **132**, 388 (1960). ² А. Н. Фрумкин, О. А. Петрий, Н. В. Николаева-Федорович, ДАН, **136**, 1158 (1961). ³ А. Я. Гохштейн, ДАН, **140**, 1114 (1961). ⁴ Г. М. Флорианович, А. Н. Фрумкин, ЖФХ, **29**, 1827 (1955). ⁵ В. Г. Левич, Физико-химическая гидродинамика, М., 1959.